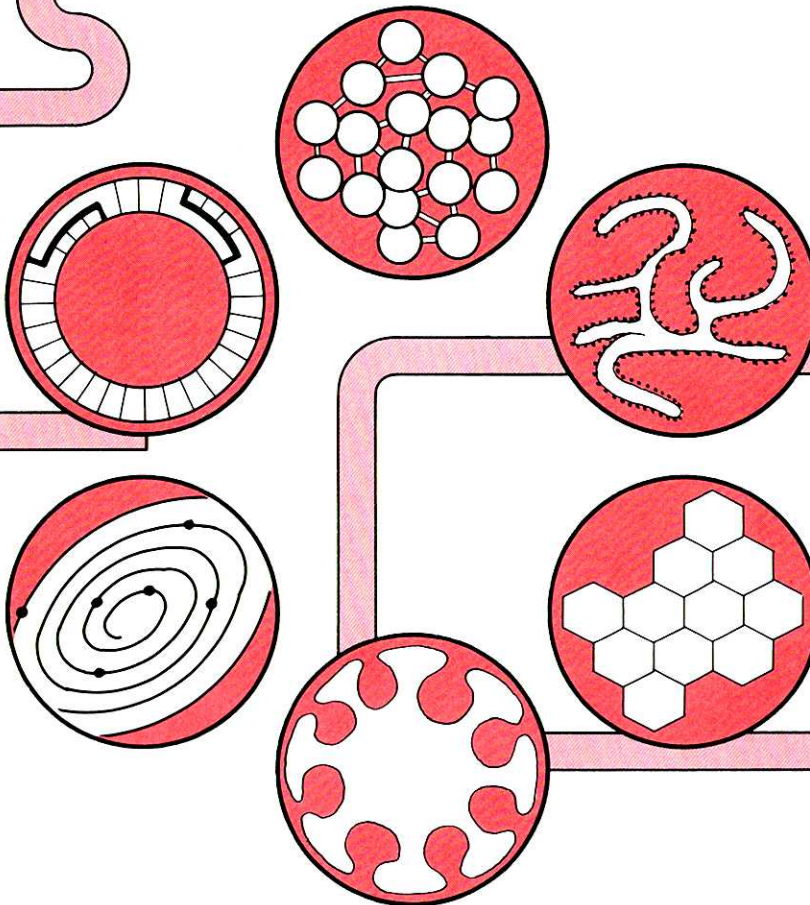


# The CHEMICAL TIMES



25



## 目 次

- アルキルラジカルの付加、異性化反応(III) ..... 早稲田大学理工学部教授 理学博士 多田 愈... 2026  
半導体薬品の供給自動化(2) ..... 日本電信電話公社 厚木電気通信研究所 調査員 藤永 清久... 2029  
" " 室長荒井 英輔  
" " 調査役原田 宙幸  
最近の海洋天然物化学(I) ..... 東京薬科大学助教授 理学博士 井口 和夫... 2033  
" 教授 理学博士 山田 泰司  
ミシンコに対する薬品の影響 ..... 東京電気大学教授 田島 守隆... 2037  
薬学ゆかりの外国人(14) ..... 日本薬学会 薬学博士 根本 曾代子... 2042

——エミール・フィッシャー Emil Fischer

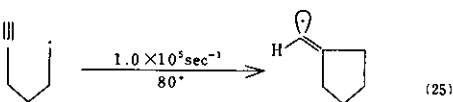
## アルキルラジカルの付加、異性化反応(Ⅲ)

早稲田大学理工学部教授 理学博士

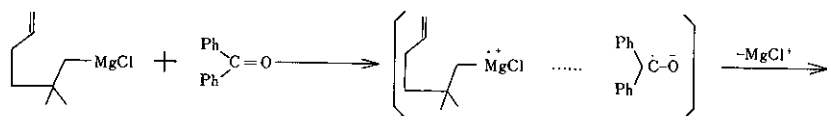
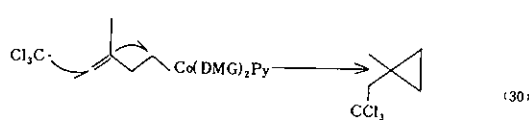
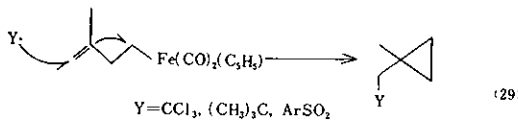
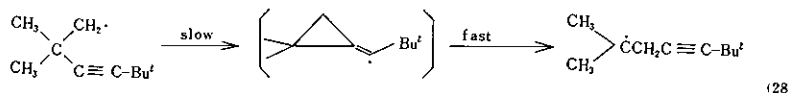
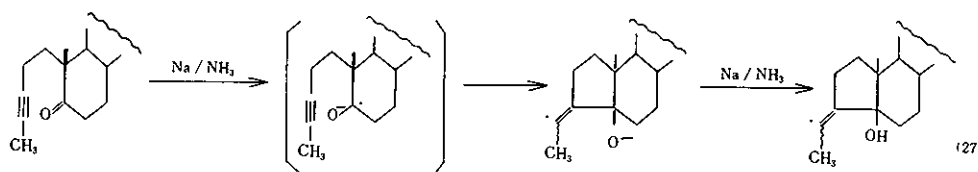
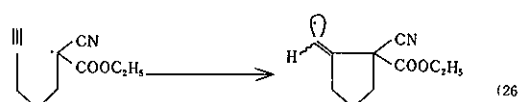
多 田 愈

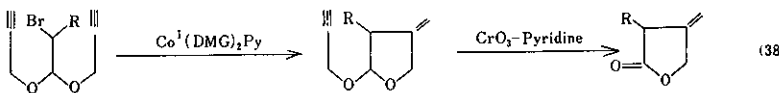
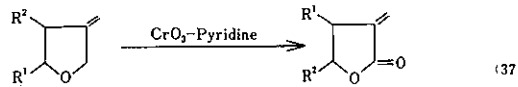
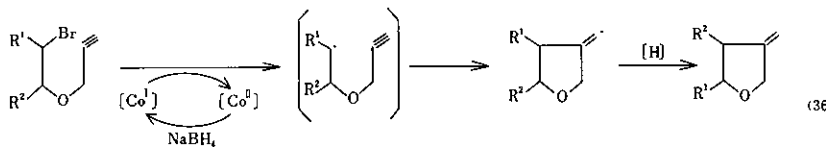
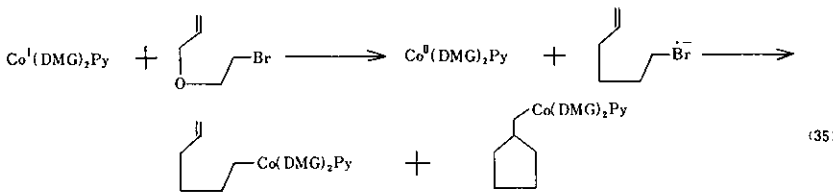
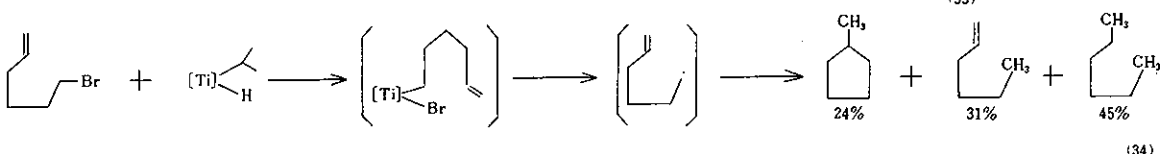
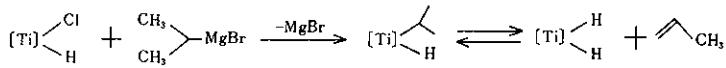
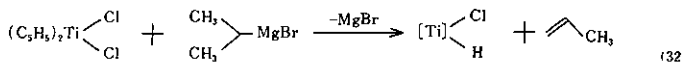
9) アセチレン結合への付加: 5-ヘキシニルラジカルは5-ヘキセニルラジカルとほぼ同程度の速度で分子内付加する(式25)<sup>19</sup>。持記すべきことはオレフィンへの付加では親電子性のため六員環(§4参照)に閉環する系でも、五員環生成物のみを与えることである(式26)<sup>20</sup>。この完全な説明は難しいが、アセチレン結合の直線性のため親電子付加に優利な架橋構造を取り難く、かつアセチレンのπ電子はオレフィンのそれに比べて電子供与性が弱い点などがその原因であろう。27式に見られる閉環反応はBirch還元におけるラジカルアニオン種の閉環反応と考えられる<sup>21</sup>。

つぎに28式で示される異性化反応は20式(§8)に相当する異性化であるが、この反応は遅い閉環過程を含むので反応全体はかなり遅い反応である( $k = 49 \text{ sec}^{-1}$ , 25°C)<sup>22</sup>。



10) ラジカルプローブ: 反応中間体としてラジカル種が生成することを証明する方法として、もっとも直接的なものは電子スピン共鳴(ESR)や核磁気共鳴におけるCIDNP法がある。しかしこれらの方法は低濃度のラジカル種を検出出来る反面、直接反応には関与しないラジカルに惑わされることも多い。そのためラジカル種増減の速度論と反応の速度論の一一致を確立しなければならない。そこでラジカル種に特有な反応性を利用して、生成物の構造とその生成比からラジカル中間体の存在を証明する方法が考え出された。それらの方法では今まで述べて来た3-ブテニルラジカルや5-ヘキセニルラジカルの環化異性化反応をプローブとする方法がしばしば用いられる。たとえば29、30式の鉄錯体やコバルト錯体はいづれもラジカル試薬と反応してシクロプロパン誘導体のみを与える<sup>23,24</sup>。もし中間にラジカル種を経るもので





あれば、§ 6 (12式) で述べた様に3-ブテニルラジカルとシクロプロピルメチルラジカルの平衡は大きく開環型に片寄っており、29、30式にみられる様に閉環型の生成物のみを与えることはない。したがってこれらの反応はラジカル種による  $S_{\text{H}}2'$  の一段階置換反応であることが分る。一方立体障害の有るグリニヤール試薬と芳香族ケトンとの反忨では異常な生成物が得られ、近年になって一電子移動機構が有力になった。31式の生成物は5-ヘキセニルラジカル系に特有な環化を経るカップリング反応と直接カップリング反応が競争的に起っていると考えれば無理なく理解され、ラジカル中間体を与えることが出来る電子移動機構が確立された。またチタノセン塩化物と二級グリニヤール試薬の反応から生成が期待されるアルキルヒドリド体 (式32) 或はジヒドリド体 (式33) とハロゲン化物の反応 (式34) もやはりラジカル中間体を経ると考えられる。著者等のグループでも1価のコバルト錯体であるコバロキシム(I)或はコバラミン(I)と3-オキシハロゲン化アルケニル化合物との反応で直接置換体と共に閉環型のオルガノコバルト錯体が得られることから、35式の様な一電子移動を含む機構を提出した<sup>25</sup>。

11) 合成反応への応用: 前節で述べた様にラジカルの付加異性化反応は、反応機構の研究に“Clock Reaction”としてしばしば用いられて来た<sup>26</sup>。しかしこの環形成反応を有機合成に利用しようとする試みは皆無と云つて良かった。しかしここ1, 2年の間にこの方面でもいくつかの試みが行われる様になった。著者等のグループでも前述のコバルト錯体によるテトラヒドロフラン環の生成を利用して二、三の有用な合成反応を発見している。すなわち35式のアリルエーテルと同様にプロパルギルエーテルのラジカル中間体も速かに3-メチレンテトラヒドロフラン類に環化する。この際触媒量のコバキシムを用いて電子移動の結果生成するCo(II)-錯体をボロヒドリドで還元してCo(I)-錯体を再生するという手法を用いれば反応系中のCo(II)-錯体の濃度は無視される程度になり、オルガノコバルト体 (35式) は生成せず、環化生成物が高収率で得られる (36式)。この環化体をクロム酸/ピリジンで酸化すると各種  $\alpha$ -メチレン- $\gamma$ -ブチロラクトン類が合成出来る (37式)<sup>27</sup>。アルデヒドから誘導出来るプロモアセタールを同様に環化させ、Johns酸化すると  $\beta$ -メチレン- $\gamma$ -ブチロラクトン類が合成出来る (38式)、NBS処

理した後酸を作用させれば3-メチルフラン誘導体が合成出来る。<sup>28,29)</sup>これらはテルペン類のイソプレン単位として有用な合成中間体である。同様の環化反応は上野等によりトリブチルスズヒドリドを用いても試みられているが、スズヒドリドを当量用いなければならぬため非環化還元体がかなり生成してくる。これを克復するためにスズヒドリドをポリマーに化学結合させ、ボロヒドリドを当量用いてポリマーを少量用いることにより触媒的に環化反応を行っている(40式)<sup>30)</sup>

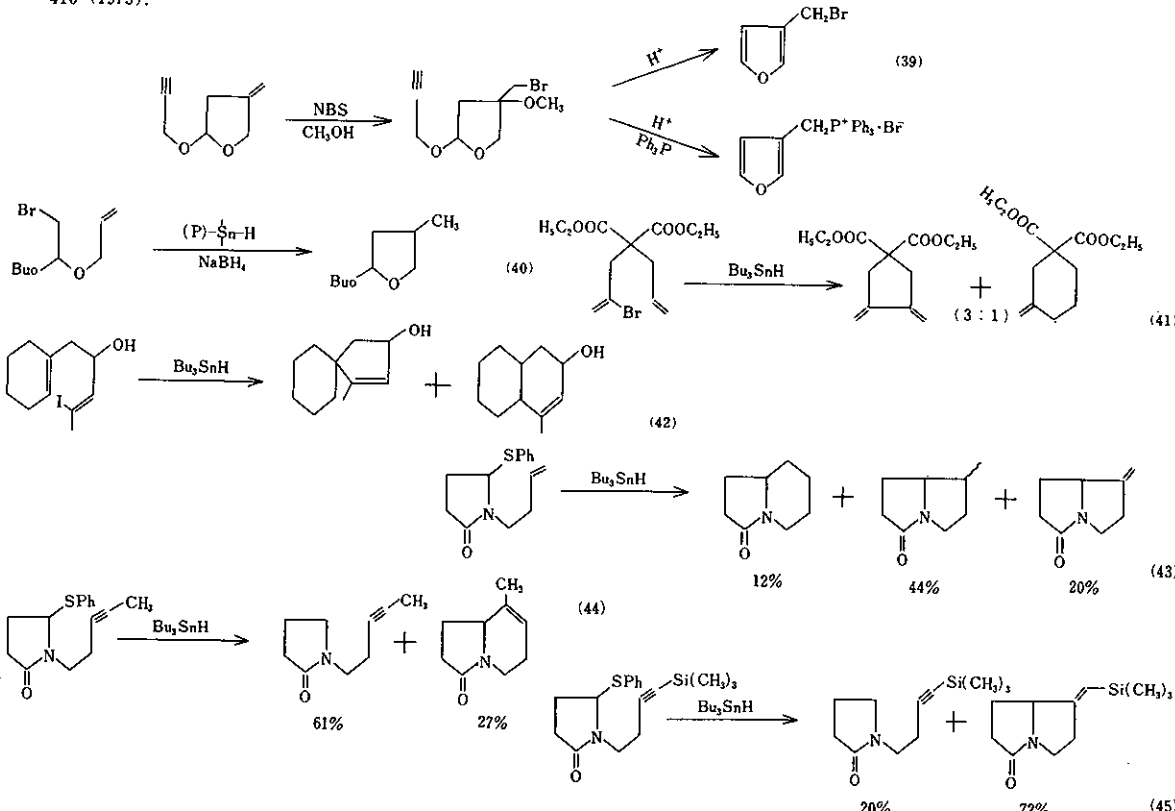
§3でアルケニルラジカルもアルキルラジカル同様求核的な反応をするだろうと述べたが、これに関しStork等の研究は興味深い。すなわち特に立体障害が問題にならない系ではやはり五員環への閉環が優先し(41式)、立体障害のかなり大きな系でもやはり五員環閉環が優先する様である(42式)<sup>31)</sup>

アミド基に隣接するラジカルが分子内付加でどの様な挙動をするか興味深いが、(43式)の反応は単純なアルキルラジカル同様やはり五員環への閉環が優先することを示している。<sup>32)</sup>さらに興味をひく点はアセチレン結合への付加がトリメチルケイ素の置換によって促進されることである(44, 45式)<sup>33)</sup>

## 文 献

19) S. A. Dadson, R. D. Stipanovic, J. C. S. Perkin I, 410 (1975).

- 20) M. Julia, Rec. Chem. Proc., 25, 1 (1964).
- 21) S. K. Pradhan, S. R. Kadam, J. N. Kalhe, T. V. Radhahrishnan, S. V. Sahani, V. B. Thaken, J. Org. Chem., 46, 2622 (1981).
- 22) A. L. J. Beckwith, K. U. Ingold, "Rearrangement in Ground and Excited States", ed. by P. de Mayo, Academic Press, New York (1982), P182.
- 23) A. Burry, M. D. Johnson, M. J. Stewart, J. C. S. Chem. Commun., 622 (1980).
- 24) A. Burry, M. D. Johnson, J. C. S. Chem. Commun., 498 (1980).
- 25) M. Okabe, M. Tada, Bull. Chem. Soc. Jpn., 55, 1498 (1982).
- 26) D. Griller, K. U. Ingold, Acc. Chem. Res., 13, 317 (1980).
- 27) M. Okabe, M. Abe, M. Tada, J. Org. Chem., 47, 1775 (1982).
- 28) M. Okabe, M. Tada, J. Org. Chem., 47, 5382 (1982).
- 29) M. Okabe, H. Tamagawa, M. Tada, Synth. Commun., in Press.
- 30) Y. Ueno, K. Chino, M. Okawara, J. Am. Chem. Soc., 104, 5564 (1982).
- 31) G. Stork, N. H. Bario, J. Am. Chem. Soc., 104, 2321 (1982).
- 32) D. J. Hart, Y.-M. Tsai, J. Am. Chem. Soc., 104, 1430 (1982).
- 33) J.-K. Choi, D. J. Hart, Y.-M. Tsai, Tetrahedron Lett., 23, 4765 (1982).



## 半導体薬品の供給自動化(2)

日本電信電話公社 厚木電気通信研究所 調査員 藤永清久  
 シ 室長 荒井英輔  
 シ 調査役 原田宙幸

L S I 工業では、ウェハが大形化されるに従い、使用薬品量が増大してきている。また、1チップあたりの素子の高密度化が進められるに従い、ダストフリーの薬品に対する要求が、ますます強くなっている。これまで、製造装置への薬品供給は、作業者が行ってきた。しかし、薬品びんの転倒や破損などで、作業者がけがをしたり、薬品によるやけどを負うおそれがあり、また作業者からの発塵による薬品の汚染も大きな問題であった。このため、高品質な薬品の供給自動化を目的として、フィルターにより沪過してから、製造装置へ薬品を自動供給できる薬液供給装置の開発が望まれていた。

前回は、薬品供給の自動化に対する要求条件と問題点について述べたが、ここでは、薬液供給装置を導入した高品質な薬品の供給自動化について、その実験結果を含め述べる。

### 1. 構成と特徴

写真1に薬液供給装置を示す。本装置は1台に15ℓ容積のタンクを2本有し、1本が空になると自動的に他のタンクから供給され、その間に空のタンクを交換することにより、高純度薬液の連続的な供給を可能にしている。薬液供給装置から製造装置への薬液供給方法は、テフロン配管による窒素ガスを用いた圧送方法を採用している。

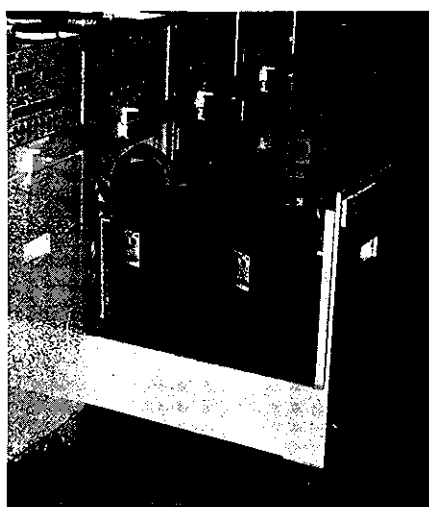


写真1 薬液供給装置

また、供給装置はフィルターを内蔵し、薬液中のダストを除去してから、薬液を圧送している。薬液の圧送制御は、供給装置のコントローラで行っており、形状もワゴンスタイルになっているため、必要に応じて、クリーンルーム内を移動使用できる。さらに、L S I 製造の自動化ラインに本装置を導入する必要から、製造装置の制御系や上位のコンピュータシステムからも、遠隔操作ができるようになっている。このような無人化が図られていることから、作業者からの発塵による薬液の汚染がなく、効率的な製造ラインの運用が可能となる。本供給装置は危険な薬液を使用するため、薬液が漏れた場合でも、装置外に流出せず、廃水配管の方にそのまま排出される構造になっている。また装置内を直接水洗できる構造にするなど、安全性についても配慮されている。

本来、薬液供給装置は供給目的や設置場所によって、形態を異にする。しかしながら、本供給装置で用いられているような機能構成は、その基本については変わらないものと考えられる。

### 2. 供給薬液の純度

薬液貯蔵用のタンクは、耐薬品性に強く、ダスト発生の少ないテフロン製である。その外側はF R P (Fiber Reinforced Plastic) で補強されているとともに、輸送・保管の容易な形状になっている。また、供給装置内のフィルター、配管等で薬液と接触するところは、すべてテフロン製している。

薬液の消費量は薬液の種類によって異なるが、半導体工場では薬液の使用量が多く、タンクの回転が早いため、薬液がタンクに貯蔵されている期間が短い。しかし、研究・開発機関では、供給装置に薬液が貯蔵される期間で、1ヶ月を超える場合がしばしば生じる。したがって、供給装置に貯蔵されている間の薬液の純度劣化が問題になる。そこで、原子吸光法により、タンクとフィルターに電子工業用の薬液を充填し、純度の劣化を調べた。

表1に、タンクに貯蔵された硫酸の純度の経時変化を示す。これから、6ヶ月間タンクに貯蔵しても、硫酸の純度にはほとんど変化が見られない。また、他の酸・アルカリ薬液についても、同様の結果が得られた。このことから、ここで使用しているタンクが、高純度の薬液を貯蔵するのに必要な特性を満足していることがわかる。

表2に、硫酸をフィルターに充填し、1ヶ月後の硫酸の純度変化を調べた結果を示す。使用したフィルターは

表1 タンクに充填した硫酸の純度変化  
(ppm)

元素	規格値	充填時	1ヶ月後	6ヶ月後
Al	<0.2	0.02	0.02	0.02
Ca	<0.1	0.01	0.01	0.01
Cr	<0.05	<0.002	<0.002	<0.002
Cu	<0.05	<0.0005	<0.0006	0.002
Fe	<0.2	0.02	0.03	0.03
K	<0.1	<0.005	0.01	0.01
Na	<0.3	0.1	0.1	0.1

表2 フィルターに充填した硫酸の純度変化  
(ppm)

元素	充填時	1ヶ月後
Al	0.02	0.03
Ca	0.01	0.1
Cr	<0.002	0.01
Cu	<0.0005	0.006
Fe	0.02	0.2
K	0.005	0.03
Na	0.1	0.1

市販のテフロン製メンブランフィルターである。これから、明らかにフィルターでの硫酸の純度の劣化が認められる。フィルター内は常時薬液に浸されるため、薬液の品質管理上問題となる。この原因は、フィルターのハウジング材であるポリプロピレンや、このハウジング部とテフロンフィルターとの接着部が、耐薬品性に対し問題のあることがわかり、実際にハウジング部の破損事故も生じた。これら問題は硫酸ばかりではなく、塩酸や硝酸の場合にも起こった。そこで、ハウジング部の材質も含め、すべてテフロン製にしたフィルターを製作し、使用した結果、耐薬品性上問題のないことがわかった。また、このフィルターに充填した薬液の純度劣化も見られず、ここでの汚染を防止できることが明らかとなった。

### 3. 供給薬液のダスト

半導体工業で使用される高品質の薬液でも、ダストは意外に多い。この原因として、薬液を容器に充填するさいの汚染や、容器自身からの発塵によるもの等種々考え

られ、薬液中のダスト低減化におけるこれからの課題の1つである。

図1に、作業者が薬品びんを開封し、直接処理槽に供給した薬液と、薬液供給装置により、処理槽に供給した薬液のダストを測定した結果を示す。測定は顕微鏡法により、粒径が $1\text{ }\mu\text{m}$ 以上のダストについて行っている。図1から、作業者が供給する場合に比べ、供給装置による方がはるかに薬液中のダストが少ない。これは、供給装置が $0.2\text{ }\mu\text{m}$ のテフロンフィルターで薬液を通過してから、圧送するためと考えられ、使用直前で薬液を通過することが、極めて効果的であることがわかる。

### 4. 供給薬液の流量

薬液供給装置は、窒素ガスによる圧送方法を採用しているため、供給流量が窒素圧に依存することは当然であるが、薬品の粘性に起因するフィルターや配管の抵抗によっても、大きく左右される。図2に、供給装置の薬液取出口で測定した種々の薬液の流量を示す。これから、

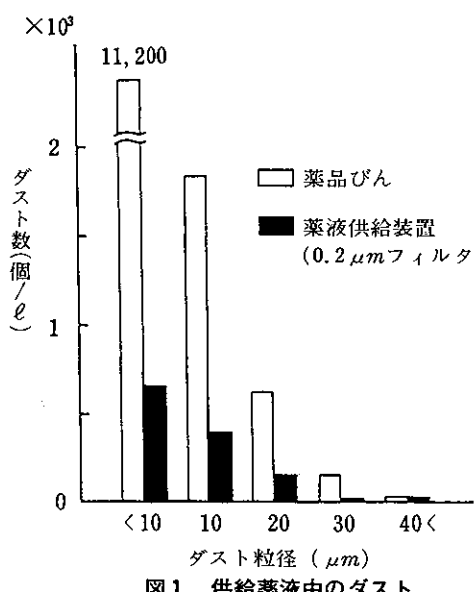


図1 供給薬液中のダスト

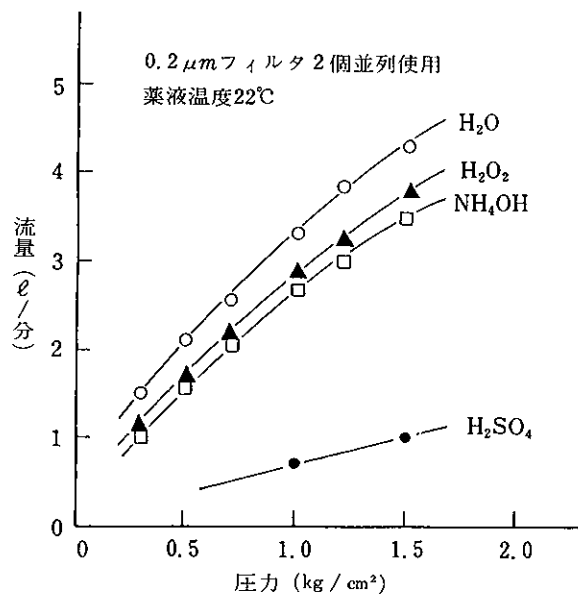


図2 送液用の窒素圧と薬液の流量

窒素圧と流量がほぼ比例関係にあることがわかり、また本装置での配管、バルブ、フィルターなどを含めた装置での抵抗も知ることができる。粘度の小さい過酸化水素水やアンモニヤ水は、純水とほぼ同程度の流量をとることができると。たとえば、 $1.5 \text{ kg/cm}^2$  の圧力にすると、 $4 \ell/\text{分}$  近くの流量がとれる。テフロン配管を通して、これらの薬液を製造装置へ圧送しても、現状では流量の損失はそれほど問題とならない。

しかしながら、図 2 からわかるように、粘度の大きい硫酸では、配管やフィルターでの抵抗が増大するため、他の薬液に比べて  $\frac{1}{3}$  以下の流量しか取ることができない。また、テフロン配管を通して、製造装置まで硫酸を圧送する場合に、流量損失がさらに大きく加算されるため、実用上問題となる。そこで、タンクの側壁を加熱することにより、硫酸の液温を上げて粘度を小さくし、流量の変化を調べた。図 3 の測定結果から、液温が高くなると、確かに流量の増加する様子がわかる。つまり、室温の 2 倍程度に液温を上げると、流量もほぼ 2 倍になる。

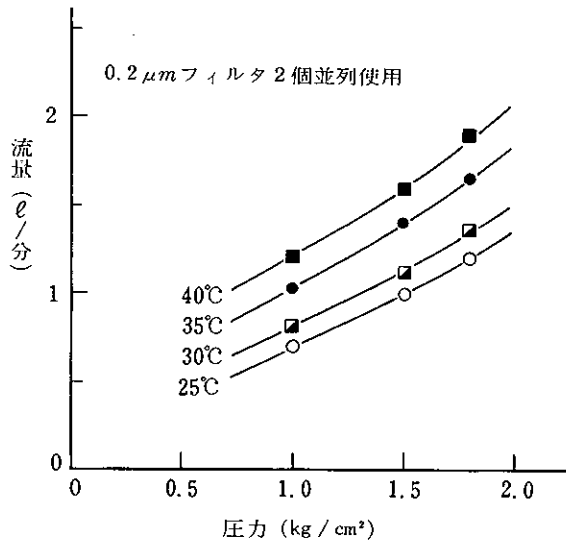


図 3 硫酸温度に対する圧力と流量の関係

したがって、液温を上げる方法は、粘度の大きい薬液の流量を増加させる一方法としては、有効であるといえる。しかし、研究・開発装置のように、使用頻度がそれほど多くない場合、タンクの側壁を常時加熱させる方法は、経済的にも安全性からも得策ではない。このため、実用上硫酸の流量を大きくとるには、硫酸用の供給装置を並列させて使用することが、もっとも簡単な方法である。

L S I 製造プロセスでは、硫酸を使用した洗浄工程が多用されており、またウェハの大形化のためもあって、硫酸の消費量が急激に増加している。この理由から、硫酸用の供給装置を大型化し、それに合せてフィルターの容量も大きくなり、配管の径も太くすることによって、供給量の問題を解決しつつある。いずれにしても、実用的な薬液の流量は、おおよそ  $10 \ell/\text{分}$  程度は望まれる。

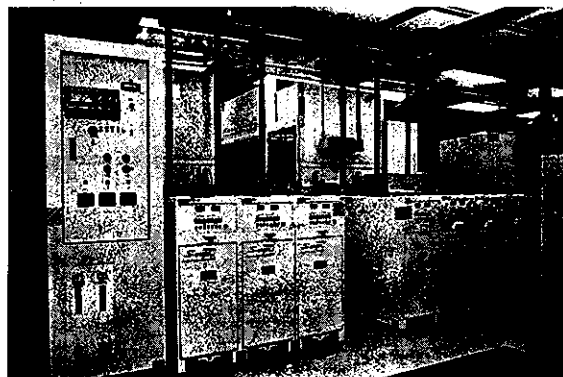


写真 2 自動ウェハ洗浄工程

#### 5. ウェハ洗浄の自動化工程

写真 2 に、薬液供給装置を使用したウェハ洗浄の自動化工程を示す。供給装置は 7 台使用し、それぞれ過酸化水素水用と硫酸用が各 2 台、塩酸、フッ素およびアンモニヤ水が各 1 台である。ウェハ洗浄装置は供給装置の後部に 2 台設置されている。当工程はウェハ移送も含め、すべて無人化されており、ウェハがさらされる環境も、クリーンルームに置かれた装置のさらにクリーン度を高くした中だけである。

この自動化工程により、ウェハの洗浄効果を調べた結果、Naなどのアルカリ金属による可動電荷量が  $10^9 \text{ cm}^{-2}$  レベル以下で再現され、薬液供給も含めて自動化された当工程の高クリーン化が実証された。

#### 6. 廃液の処理

これまで、高品質の薬品の供給方法を述べてきたが、使用後の薬品の排出方法も重要な問題であり、その 1 例を次に紹介する。

ウェハ洗浄工程では、高温・強酸・強アルカリ性の洗浄廃液を大量に排出する。一般に、洗浄装置からの排水には、塩化ビニル製の配管が使用されている。しかし、洗浄廃液が高温であることや、配管内での残液との発熱反応などにより、配管や接合部のゆるみ、クラックの発生が起きやすくなり、廃液がもれるおそれが出てくる。

図 4 は、高温の洗浄廃液を規定温度以下になるように稀釀して、ウェハ洗浄装置から排出させる廃液処理装置の 1 例である。つまり、洗浄処理槽からの高温の廃液のみをいったん廃液貯留槽に流入させ、次に適当な流量で廃液稀釀槽へ流出させる。それと同時に、ウェハ洗浄などに使用した純水を廃液稀釀槽に流入させ、廃液を順次稀釀して装置外に排出させる。この際、廃液稀釀槽内の液温が、規定温度よりも上昇するときには、廃液貯留槽からの流入量が流量調節装置で自動的に調整されるため、常に規定温度以下の廃液で装置外に排出されることになる。現実にこの方法により、高温でまた配管内の排水の残液と発熱反応を起こす硫酸と過酸化水素水の混合洗浄液（液温  $100\text{--}130^\circ\text{C}$ ）の廃液が処理されている。

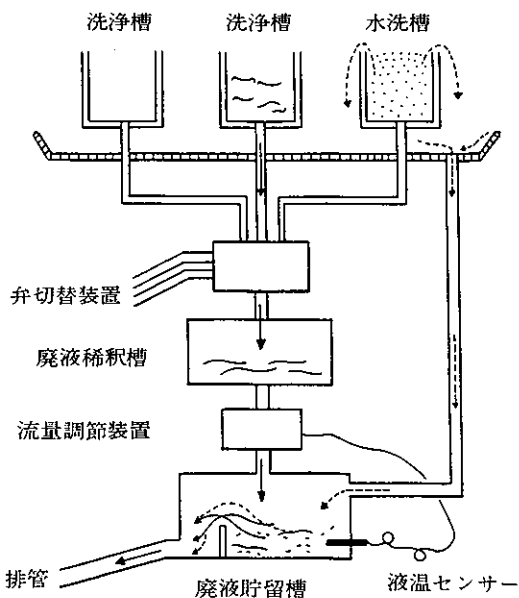


図4 廃液稀釀装置

半導体薬品の供給自動化は、以前から半導体メーカーの製造現場で試みられてきたところであり、実際に、先に紹介した薬液供給装置と類似の機能を有する供給装置も試用されている。しかしながら、高純度・低ダストの薬

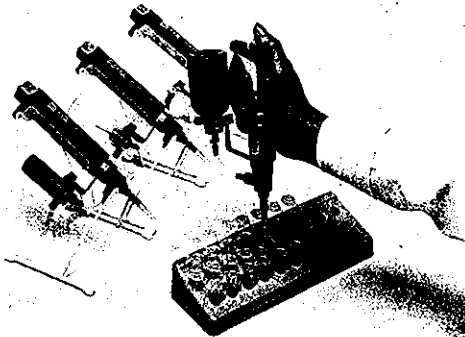
品を大量に確保し、自動供給を行うためには、高品質な薬品製造から始まって、容器への充填、運搬、半導体製造装置への供給までを含め、一貫した方針のもとに進める必要があり、半導体メーカーが単独で進めても困難な面があった。このことから、高品質の薬品供給の自動化は、薬品メーカーの参加なくしては、満足のいく効果を上げられないのが実情であった。実際に、当研究所と薬品メーカーとが協力して、検討を始めたのは4、5年前からである。開発当初は、ハウジングを含めて、すべてテフロン製にしたフィルターが市販されておらず、新たに型を起こしてフィルターを作製する必要があった。しかし、現在では各フィルターメーカーから、同様のフィルターが市販され始めており、半導体製造現場で酸・アルカリ薬品の供給自動化が、強く要求されていることを物語っている。

検討開始から数年を経、薬品供給の自動化の見通しが着いた現在では、薬液の供給装置や供給設備の導入が各所で進められている。半導体工業は先端産業の1つであり、その裾野は広く、半導体薬品の供給方法についても、薬品メーカーやフィルターメーカーの専門知識と経験による協力が、今後とも強く望まれるところである。

#### 文 献

- 1) 藤永、矢野、原田、荒井：昭和58年度電子通信学会総合全国大会、No. 594, p. 2-331.
- 2) 藤永、矢野、原田、荒井：電子通信学会論文誌、Vol. J66-C, No. 3, p. 252 (1983).

### 微量・半微量試薬の添加に BRAND-micro-Dispenser®



- 取扱い操作が至って簡単 ●高い正確度
- ゴム栓密封・ネジロビンから直接分注



西独BRAND社輸入総発売元  
関東化学株式会社

〒103 東京都中央区日本橋本町3-7 ☎03(279)1755  
〒541 大阪市東区瓦町3丁目1番地 ☎06(231)1672

# 最近の海洋天然物化学(Ⅰ)

東京薬科大学助教授 理学博士 井口和男  
〃 教授 理学博士 山田泰司

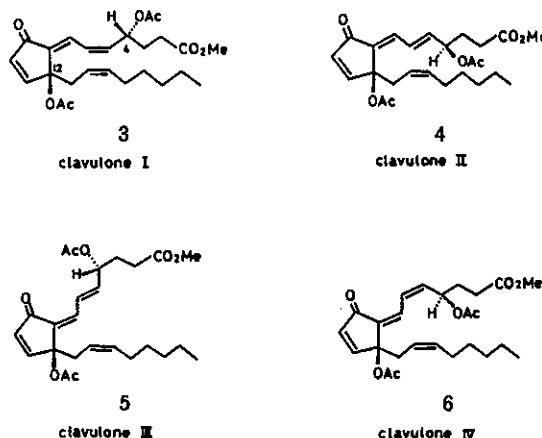
海洋は地球表面積の約70%を占め、海洋生物も種類、個体数とも豊富である。これは海洋が陸上に比して温度などの変化が少なく穏やかであり生命にとって良好な環境であるためと思われる。海洋生物は陸上とは異なる独特の環境に生存するため、その生命現象に関与する物質も陸上生物とは異なるものが多いと期待される。このような観点から近年海洋天然物に対する関心がとみに高まっており、新しいタイプの構造を有する海洋天然物が多数発見されている<sup>1)</sup>。またこれらの海洋天然物の多くは顕著な生理活性を示し<sup>2)</sup>、その生体に対する生化学的意義の解明に興味がもたれるとともに、新たな医薬品および農薬などを開発するためのいわゆる「先導化合物」としても大きな注目を集めている。

著者らの研究グループも数年前より沖縄県のサンゴ礁海域に棲息する軟体サンゴなどの海洋動物に着目して、これらの海洋動物の新規生理活性成分に関する研究を行なってきており、抗腫瘍活性あるいは抗炎症活性などを示すテルペノイド<sup>3)</sup>、ステロール<sup>4)</sup>および脂肪酸類縁体<sup>5)</sup>を単離構造決定している。最近著者らは抗腫瘍作用を有する全く新しいタイプのプロスタノイドの一群を根生目腔腸動物から単離構造決定することができたので<sup>6)</sup>。まず本稿では最近の海洋天然物化学のトピックスのひとつとして海産プロスタノイドを取りあげた。次稿では他のいくつかの海洋天然物の研究について述べることにする。

海産プロスタノイドの歴史は1969年Weinheimerら<sup>7)</sup>がヤギ目腔腸動物 *Plexaura homomalla* から1のようなプロスタノイドを多量に単離したことから始まり、現在に至るまで活発に研究がなされている。1はPGA系のプロスタノイドであるが、海洋生物から初めて単離され

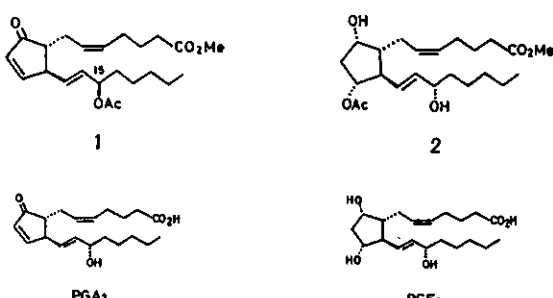
たプロスタノイドであること、生体乾燥重量の1.5%という多量に含有されること、および15位の立体化学が哺乳動物に含まれるPGとは異なる15(R)であることなどから非常に大きな注目を浴びた。後になって同種の動物には哺乳動物のPG類と同一の15(S)型のものも含まれることがわかり、また *P. homomalla* と近縁の軟体サンゴからはPGF系の2なども単離されている<sup>8)</sup>。Coreyらは *P. homomalla* のPG合成酵素を精製し1などがアラキドン酸から生合成されること<sup>9)</sup>、および *P. homomalla* に含まれるプロスタノイドは共生する藻類に由来するものではなく、動物本体に含まれていることを明らかにしている<sup>10)</sup>。さらにその後の研究からPGA、PGEおよびPGFなどが腔腸動物のみならず魚類、貝類などの海洋動物に広く分布していることが生物検定法を用いて明らかにされており<sup>11)</sup>、その生体内における役割、生合成などに興味がもたらされている。

著者らのグループも前述のように沖縄県石垣島沿岸の



サンゴ礁海域で採集した根生目腔腸動物 *Clavularia viridis* Quoy and Gaimard(和名ツツウミヅタ)からclavulone I (3)、II(4)、III(5)およびIV(6)と命名した4種の新規プロスタノイド\*を発見した。まずその構造決定の過程について簡単に述べたい。

4化合物のうち主成分は3および4であり湿潤生体試料の約0.02%とかなり多量に含まれていた。4化合物はいずれも同一の分子式を有しスペクトルデータも類似して



いた。まず主成分である clavulone I (3) の平面構造を IR, UV, <sup>1</sup>H-NMR, <sup>13</sup>C-NMR などのスペクトルデータおよび図 1 に示すオゾン分解などの化学反応から解明した。次いで図 2 に示す接触還元および酸による異性化反応から 4 化合物はいずれも同一の炭素骨格および酸素官能基を立体化学を含めて有し、二重結合の立体化学の異なる幾何異性体であることを明らかにした。二重結合の立体配置は <sup>1</sup>H-NMR におけるオレフィンプロトンの結合定数および化学シフトから決定し、2箇所の不斉中心の立体化学を除く化学構造が導かれた。

4 位の不斉中心の絶対配置については、clavulone I をオゾン分解して得られる 9 をすでに鏡像異性体が知られている R 配置を有するラクトン (10) へ図 3 に示す化学反応によって導くことにより明らかにした。また 12 位の不斉中心の絶対配置については、clavulone I を NaBH<sub>4</sub>還元して得られる 2 種のアルコールエビマー (7) および (8) に

図 1

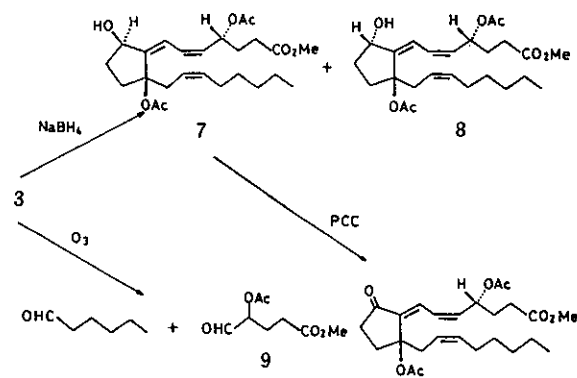
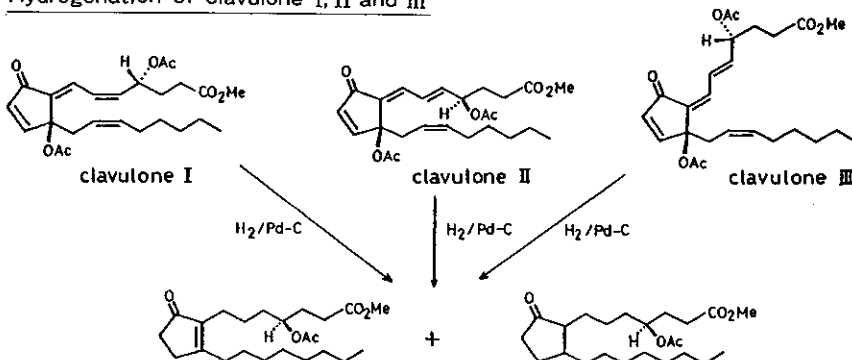


図 2

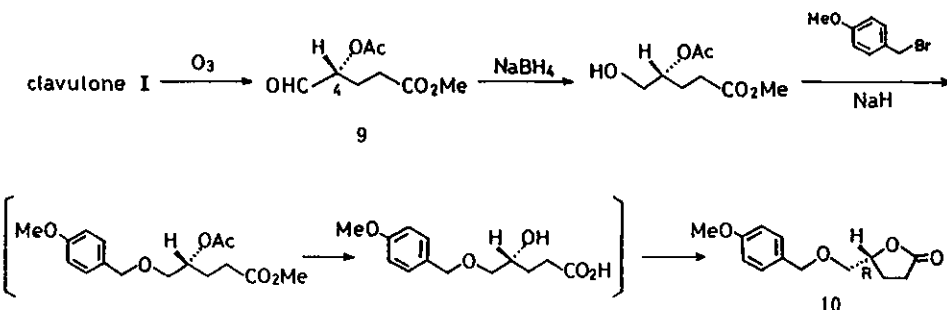
#### Hydrogenation of clavulone I, II and III



#### Acid-catalyzed isomerization of clavulone I



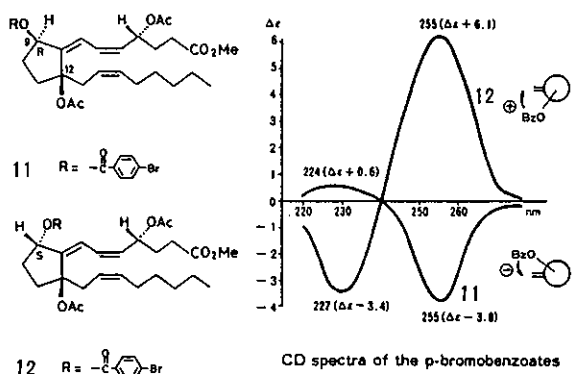
図 3



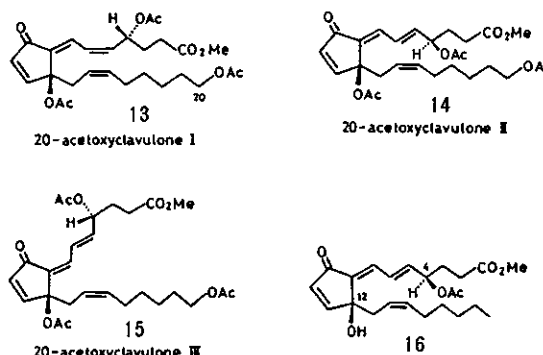
つき9位と12位の相対立体配置をIRスペクトルにおける水素結合の測定から決定し、次いで9位の絶体配置を明らかにすることにより決定した。9位の絶体配置は7および8の相当する $\beta$ -プロモベンゾアート(11)および(12)のCDスペクトル(図4)のCotton効果の符号<sup>12</sup>から決定できた。

以上のようにclavulone Iの絶体配置を含めた全構造が決定でき、またclavulone II、IIIおよびIVはIと同一の絶対配置を持っているのでその全構造も同時に明らかとなつた。

図4

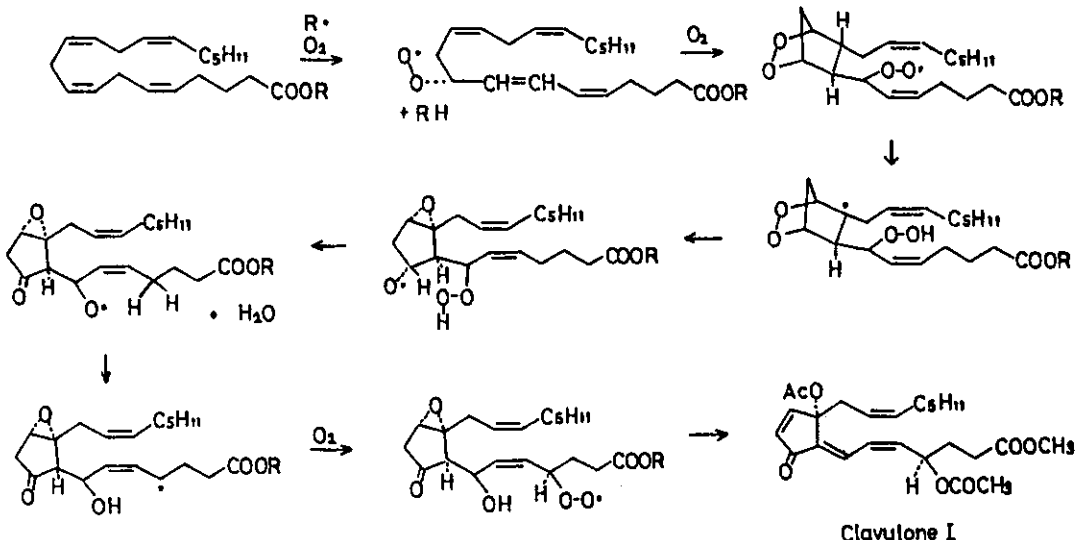


これら8種の化合物はいずれもプロスタン酸の炭素骨格を有することからプロスタノイドと考えることができ。しかし從来海洋動物および哺乳動物に含まれるプロスタノイドの構造上の特徴である $\omega$ 側鎖のアリルアルコール系がclavulone類には存在せず、かわりに共役シクロペントノンにさらにジエンが共役した特異な交差共役系を有すること、7位および12位が酸素化されていること、7位および14位に二重結合が存在することなど從来のプロスタノイドにはない構造上の特徴を有する新しいタイプのプロスタノイドである。また13、14および15は $\omega$ 側鎖の20位が酸素化されている。このような20位における酸化は $\alpha$ 側鎖の $\beta$ 酸化とともにPG類の代謝における最初のステップとして知られており、種々の20-オキシ代謝中間体の存在がGC-MSなどを用いて確認されているが、天然物として単離され完全にcharacterizeされたものは著者らの知る限り今回が初めての例と思われる。



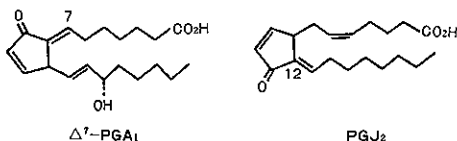
Clavulone類は後述するように新しいタイプのプロスタノイドであることから、その類縁体の存在にも興味を抱き *C. viridis* の抽出エキスについて更に精査したところ、20-アセトキシ体(13)、(14)、(15)および12位のアセトキシル基が水酸基に置換された16を単離することができた。

図5



Clavulone類の生合成に関しては、最近 Corey らが図 5に示すような仮説を提案している。<sup>13)</sup>これはアラキドン酸からPGG型のエンドペーオキサイド中間体およびシクロペンテノン中間体を経由するもので、clavulone類のC-12位の絶対配置がうまく説明されている。Corey教授はこの生合成経路が従来のプロスタノイドの生合成とはかなり異なるものであるため、clavulone類はプロスタノイドというよりむしろエノコサノイドと称すべきであると提案している。

この新しいタイプのプロスタノイドであるclavuloneについて生理作用が期待されるが、現在までに抗炎症活性および抗腫瘍活性が見出されている。すなわち抗炎症活性としては受精卵を用いた肉芽組織増殖抑制試験においてclavulone I, II および III は約30μg/diskの濃度で活性を示し、これはデキサメサゾンのようなステロイド系抗炎症剤の約1%の強さである。ここで特に注目すべきことは、clavuloneに抗腫瘍活性があることであるが、最近福島らは $\Delta^7$ -PGA<sub>1</sub>およびPGD<sub>2</sub>から導かれるPGJ<sub>2</sub>が*in vitro*および*in vivo*において強い抗腫瘍活性を示すことを報告している。<sup>14)</sup>ここで活性の発現には共役シクロペンテノン系および7位(あるいは12位)の二重結合の存在が必須とされている。clavuloneにはまさにこのような系がその



構造中に存在するためPGJ<sub>2</sub>などと同様の抗腫瘍活性の発現が期待された。そこでclavulone I, II および IIIについて検討したところ、いずれの化合物も白血病培養細胞 L<sub>1210</sub>に対して*in vitro*で、またエールリッヒ腹水癌に対して*in vivo*でブレオマイシンに匹敵する強さの抗腫瘍活性が認められた。<sup>15)</sup>

今後さらにclavuloneおよびその誘導体について抗腫瘍活性を含む他の生理活性の詳細な検討に興味がもたれる。またclavuloneの全合成研究および生合成の検討も興味ある課題と思われる。

以上clavuloneを中心として海産プロスタノイドについて概説したが、clavuloneのように構造的にも、合成的にもまた生理活性の面からもユニークなプロスタノイドが海洋生物から見出されたことはさらに海産プロスタノイドの研究に拍車をかけることと思われ今後の発展が期待される。

## 文 献

- 1) 化学総説25 ‘海洋天然物化学’、日本化学会編(1979)。
- 2) 野村正、‘海洋生物の生理活性物質’、南江堂 p.71(1978)。
- 3) Y. Yamada, S. Suzuki, K. Iguchi, K. Hosaka, H. Kikuchi, Y. Tsukitani, H. Horai, and F. Shibayama, Chem. Pharm. Bull., 27, 2394(1979); *ibid.*, Tetrahedron Lett., 21, 3911(1980); H. Kikuchi, Y. Tsukitani, Y. Yamada, K. Iguchi, S. Drexler and J. Clardy, Tetrahedron Lett., 23, 1063(1982).

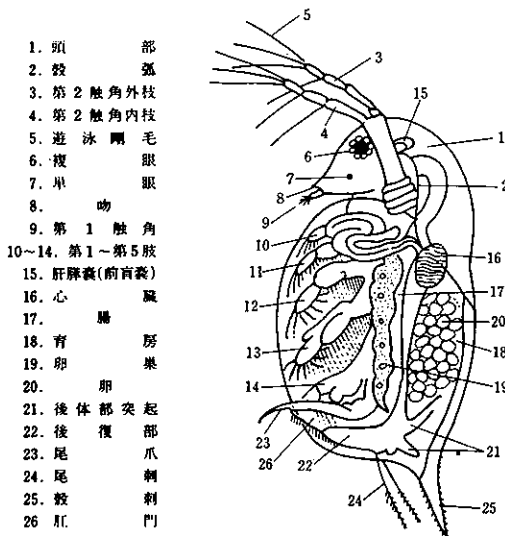
- 4) Y. Yamada, S. Suzuki, K. Iguchi, H. Kikuchi, Y. Tsukitani, H. Horai and H. Nakanishi, Chem. Pharm. Bull., 28, 473(1980).
- 5) H. Kikuchi, Y. Tsukitani, H. Nakanishi, I. Shimizu, S. Saitoh, K. Iguchi, and Y. Yamada, Chem. Pharm. Bull., 31, 1172(1983).
- 6) H. Kikuchi, Y. Tsukitani, K. Iguchi and Y. Yamada, Tetrahedron Lett., 23, 5171(1982); *ibid.*, 24, 1549(1983); K. Iguchi, Y. Yamada, H. Kikuchi and Y. Tsukitani, *ibid.*, 24, in press.
- 7) A. J. Weinheimer and R. L. Spraggins, Tetrahedron Lett., 5185(1969).
- 8) S. Carmely, Y. Kashman, Y. Loya and Y. Benayahu, Tetrahedron Lett., 21, 875(1980).
- 9) E. J. Corey, W. N. Washburn and J. C. Chen, J. Am. Chem. Soc., 95, 2054(1973).
- 10) E. J. Corey and W. N. Washburn, J. Amer. Chem. Soc., 96, 934(1974).
- 11) H. Ogata and T. Nomura, Biochim. Biophys. Acta, 388, 84(1975); T. Nomura and H. Ogata, *ibid.*, 431(1976).
- 12) N. Harada, J. Iwabuchi, Y. Yokota, H. Uba and K. Nakanishi, J. Amer. Chem. Soc., 103, 5590(1981).
- 13) E. J. Corey, G. E. Schmidt and K. Shimoji, Tetrahedron Lett., 24, 3169(1983); E. J. Corey, Experientia, 39, 1084(1983).
- 14) M. Fukushima, T. Kato, R. Ueda, K. Ohta, S. Narumiya and O. Hayashi, Biochem. Biophys. Res. Commun., 105, 956(1982); *ibid.*, 109, 626(1982). M. Fukushima, T. Kato, K. Ota, Y. Arai, Y. Narumiya and O. Hayashi,
- 15) 福島雅典、加藤武俊、太田和雄、山田泰司、菊地博之、北川勲  
日本癌学会42回総会講演要旨集(名古屋), p.243(1983).  
\*北川らは同種の動物から claviridenone-a~d を単離した。スペクトルデータを互いに比較したところ、clavulone I~IV は claviridenone-d-a とそれぞれ一致した。  
M. Kobayashi, T. Yasuzawa, M. Yoshihara, H. Akutsu, Y. Kyogoku and I. Kitagawa, Tetrahedron Lett., 23, 5331(1982); M. Kobayashi, T. Yasuzawa, M. Yoshihara, B. W. Son, Y. Kyogoku and I. Kitagawa, Chem. Pharm. Bull., 31, 1440(1983).

# ミジンコに対する薬品の影響

東京電気大学工学部教授 田島守隆

## I. ミジンコとは

プランクトン動物のうち、最も重要な種類を多く含み節足動物、甲殻綱、枝角類に属る。大抵、体が円形または橢円形の左右二枚の甲殻で被れ、体節は不明瞭なものが多いため(図1参照)複眼を持ち、第1触角は舌のごとく、第2触角は手腕のごとく見える。単生殖であるが、低温になると雌雄に分かれるといわれる。植物性プランクトンを食する多種類が存在する。我々が扱っているものは *Daphnia pulex* と *Moina marocopa* (タマミジンコ) である。



(図1) ミジンコの体制

## II. ミジンコを用いる無機薬品の毒性検査

最初に無機物などの毒性について水産資源保護協会の試験結果の表をコイ、ミジンコについて sum up して表記してみる。

これら表1の諸表を概観すると、ミジンコの測定値の方がコイよりもいろいろと整理しやすいよう整っており、測定時間も TLm の場合、24、48時間のような長い時間ではなく3時間で測定できる。この対応時間を考慮に入れたミジンコ及びコイのデータを耐性という点から考えてみると、ミジンコには、Cl, S, Cu, Zn, Cd, Hg, Cr, Ni イオンがコイには、F, NH<sub>3</sub>, Sn, Fe イオンおよびフェノール、タンニンがより強い毒性として働いている。

Cd, Hg, Cr などの有害金属イオンはミジンコで検知できる。データのばらつきを考慮に入れると、ミジンコのデータが十分役立つことがわかる。

表(1-1)

薬品名	供試生物 名 称 大きさcmg	薬剤 形態	実験条件	実験結果 (ppm)
遊離塩素	コイ		F	12~16時間25%死滅 0.15~0.20
	ミジンコ		F	72時間致死濃度 0.5
臭素	ミジンコ		F	致死濃度 10
	コイ		NaF	TLm 75~91
フッ化物	ミジンコ		F 23°C	2日間耐えうる濃度 120
	コイ		2.5~5.0g	Na <sub>2</sub> S
硫化物	コイ		F pH5.2 8~11°C	24時間致死濃度 0.23
	"		F pH6.1 8~11°C	" 0.39
	"		F pH7.4 8~11°C	" 1.35
	"		F pH5 18~22°C	24時間最小致死濃度 0.10
	"		F pH7 18~22°C	" 0.48
シアン化物	コイ(♂)	13cm	KCN	24時間 TLm 0.78
	"	"	F	48時間 TLm 0.78
	コイ(♀)	3.1cm	"	F 10~15°C 24時間 TLm 0.58
	"	"	F	48時間 TLm 0.48
アンモニア	ミジンコ		F 25°C	24時間 TLm 1.4
	コイ	0.39g	NH <sub>4</sub> Cl	24時間 TLm 68
錫 塩	ミジンコ		F pH8.0 25°C	100
	"		F pH8.0 25°C	250
	"		F pH7.0 25°C	
鉛 塩	コイ	16~25g	CuSO <sub>4</sub>	24時間 TLm 0.38
	"	"	"	48時間 TLm 0.16
	"	20cm	F	血液組成へ影響 0.04~0.08
	"	25cm	F	血液蛋白組成へ影響 0.1~0.5
	ミジンコ	25cm	F	脱水葉酸反応の阻害 0.12
カドミウム塩	コイ	1.0cm	ZnSO <sub>4</sub>	F 硬度 25ppm 21~23°C 24時間 TLm 16
	"	"	"	F 硬度 100ppm 21~23°C "
	ミジンコ	"	F 硬度 25ppm 25°C "	1.2
水銀 塩	コイ	1.0cm	CdCl <sub>2</sub>	F 硬度 25ppm 21~23°C 24時間 TLm 2.0
	"	"	"	F 硬度 100ppm 21~23°C "
	ミジンコ	"	F 硬度 25ppm 25°C "	0.25
	"	"	F 25°C 運動停止濃度	0.0026
アルミニウム塩	ミジンコ		F 25°C	24時間運動停止濃度 1.4
	"		F 25°C	" 0.013
錫 塩	ミジンコ		AlCl <sub>3</sub>	F 25°C
	"		SnCl <sub>2</sub>	有害限界濃度 15.6
鉛 塩	ミジンコ		SnCl <sub>4</sub>	運動停止濃度 67
	"		PbCl <sub>2</sub>	F
	コイ			長期間致死濃度 1.0
クロム 塩	"			血清への影響濃度 1.0
	ミジンコ		K <sub>2</sub> Cr <sub>2</sub> O <sub>7</sub>	運動停止濃度 0.9
	"		"	F 硬度 25ppm 21~23°C 24時間 TLm 150
	ミジンコ		"	F 硬度 100ppm 21~23°C "
マンガン 塩	ミジンコ		CrCl <sub>3</sub>	F 硬度 25ppm 25°C 0.054
	"		"	有害限界濃度 1.2
	コイ	1.0cm	MnCl <sub>2</sub>	F 硬度 25ppm 21~23°C 24時間 TLm 1400
鉄 塩	"		"	F 硬度 100ppm 21~23°C "
	ミジンコ		KMnO <sub>4</sub>	運動停止濃度 22
	"		F	" 0.27

Fは淡水中的実験を示す

TLm……致死中央値濃度

表(1-2)

薬品名	供試生物 名 称 大きさ	薬剤 形態	実験条件	実験結果 (ppm)
亜鉛 塩	コイ	1.0cm	ZnSO <sub>4</sub>	F 硬度 25ppm 21~23°C 24時間 TLm 16
	"	"	"	F 硬度 100ppm 21~23°C "
	ミジンコ	"	F 硬度 25ppm 25°C "	1.2
カドミウム塩	コイ	1.0cm	CdCl <sub>2</sub>	F 硬度 25ppm 21~23°C 24時間 TLm 2.0
	"	"	"	F 硬度 100ppm 21~23°C "
	ミジンコ	"	F 硬度 25ppm 25°C "	0.25
水銀 塩	コイ	0.41g	HgCl <sub>2</sub>	F 25°C 24時間 TLm 0.47
	ミジンコ	"	F 25°C	" 0.013
アルミニウム塩	ミジンコ		AlCl <sub>3</sub>	F 25°C 64時間運動停止濃度 1.4
	"			
錫 塩	ミジンコ		SnCl <sub>2</sub>	有害限界濃度 15.6
	"		SnCl <sub>4</sub>	運動停止濃度 67
鉛 塩	コイ		F	
	"		F	長期間致死濃度 1.0
	ミジンコ		F	血清への影響濃度 1.0
クロム 塩	コイ		PbCl <sub>2</sub>	運動停止濃度 0.9
	"		"	F 硬度 25ppm 21~23°C 24時間 TLm 150
	ミジンコ		"	F 硬度 100ppm 21~23°C "
マンガン 塩	ミジンコ		CrCl <sub>3</sub>	F 硬度 25ppm 25°C 0.054
	"		"	有害限界濃度 1.2
	コイ	1.0cm	MnCl <sub>2</sub>	F 硬度 25ppm 21~23°C 24時間 TLm 1400
鉄 塩	"		"	F 硬度 100ppm 21~23°C "
	ミジンコ		KMnO <sub>4</sub>	運動停止濃度 22
	"		F	" 0.27

表(1-3)

薬品名	供試生物 名称	供試生物 大きさ	薬剤 形態	実験条件	実験結果(ppm)
鉄 塩	コイ	1.0cm	FeSO <sub>4</sub>	F	24時間致死濃度 2.4
	ミジンコ		FeCl <sub>2</sub>	F	運動停止濃度 17
	〃		FeCl <sub>3</sub>	F	〃 45
ニッケル塩	コイ	NiCl <sub>2</sub>	F硬度 25ppm 21~23°C	24時間 TLm	20
	〃		F硬度 100ppm 21~23°C	〃	40
	ミジンコ		F硬度 25ppm 25°C	〃	4.3
	〃		F	64時間運動停止濃度	0.7
蟻 酸	ミジンコ		F 23°C	2日間有害限界濃度	120
酢 酸	ミジンコ		F 25°C	運動停止濃度	150
〃	〃		F	有害限界濃度	80
硝 酸	ミジンコ		F 23°C	2日間有害限界濃度	60
カルバメイト	ミジンコ		F 23°C	2日間耐えうる濃度	2
フェノール	コイ	9.6g	F 16°C	48時間 TLm	25~27
〃	〃		F 18°C	24時間 TLm	24.9
ミジンコ	ヒメダカ		F 25°C	〃	96
ヒメダカ	〃		F	〃	17
〃	〃		F	48時間 TLm	15
ピクリン酸	ミジンコ		F 23°C	2日間有害限界濃度	88
タンニン酸	コイ	0.41g	F 25°C	24時間 TLm	46
ミジンコ	〃		F	〃	150
樹脂酸	ミジンコ		F	致死濃度	3

表(1-5)

農 薬 名	製 剤 形態 (%)	コ イ		ミジンコ	
		48hr TLm	平均体重	3hr TLm	
殺虫剤					
砒酸鉛	原	>40ppm		>40ppm	
パミドチオン	原	>40		>10	
マシン油	原	>40		>40	
DAEP	原	>10	1.50g	>40(>10)	
DAEP	乳40	>40	1.35	>40	
DAEP	粉5.9	>40	1.60	>10	
E S P	乳	>10	1.10	1.8(2.5)	
MNFA	原	>10	1.37	>40(>10)	
MNFA	乳25	>10	1.70	>40(>10)	
殺菌剤					
カスガマイシン	原	>40	1.25	>40	
カスガマイシン	液2	1.6	1.63	>40(>10)	
カスガマイシン	粉0.2	>40	1.26	>40	
ジネブ	原	>40		>40	
石灰イオウ合剤		>40		>40	
プラスチサインS	乳	4.3	1.10	>10	
メタンアルソン酸鉄アンモニウム	液	>40	1.10	>40	
除草剤					
塩素酸塩	原	>40		>40	
プロメトリン	原	>10	1.38	>40	
プロメトリン	粒1.5	>10	1.70	>40	
2·4 PA	原	>40		>40	
C A T	原	>40	1.95	>40	
C A T	水溶50	>40	1.82	>40	
C N P	原	>40	1.60	>40	
C N P	乳20	>10	1.22	>10	
C N P	粒7.0	>10	1.59	>40	
DCPA	原	13	1.23	>10	
DCPA	乳35	9.5	1.66	>10	

( )の中はタマミジンコの3hr TLmの値。( )のないものはミジンコと同値。

表(1-4)

薬品名	供試生物 名称	供試生物 大きさ	薬剤 形態	実験条件	実験結果(ppm)
アルキル ベンゼン スルホン 酸ソーダ (ABS)	コイ	1.0cm	F	F 17~20°C	48時間 TLm 18.7
	ヒメダカ		F	F 22.0~36.5	" 22.0~36.5
	〃		F	24時間 TLm	25.1~27.9
L A S	ヒメダカ			F	24時間 TLm 4.3~4.6
アルキル サルフェート (AS)	ヒメダカ			F	48時間 TLm 4.0
	〃			F	24時間 TLm 4.7~5.4
ポリオキシ エチレン/ニ ルフェノール エーテル (NP-9)	ヒメダカ			F	48時間 TLm 11~18

## III. 毒性有機化合物についての検査

有機物の毒性としては、農薬テストが広汎に行われており、表2が種々の示唆を与えてくれる。表中のppm濃度の数値の大なるものほど毒性が弱い。それゆえ、番号の順に毒性が強くなる。

表(2-1)

化 合 物 の 名 称	水酸化トリシクロヘキシルスズ	ホルモチオン
ミジンコ(ppm) (コイのppm)	8.4 (0.32)	5.8 (1.5)
①		
構造式		
チオメトニン	ベンゾメート	ケルセン
5.5 (7.5)	5.0 (0.44)	3.8 (0.36)
③	④	⑤
ヘンソエビン	クロルピクリン	ブロチオホス
3.6 (0.0072)	0.2 (0.2)	0.13 (9.5)
⑥	⑦	⑧
メソミル	サリチオン	エチルチオメトニン
0.083 (2.8)	0.075 (>10)	0.07 (3.7)
⑨	⑩	⑪
イソキサチオン	ジオキサカルブ	ホサロン
0.052 (1.7)	0.05 (>40)	0.05 (1.2)
⑫	⑬	⑭
DCPA	CH <sub>3</sub> -C(=O)-N-COOCH <sub>3</sub>	(CH <sub>3</sub> O) <sub>2</sub> P-S-(CH <sub>2</sub> ) <sub>2</sub> -S-C <sub>6</sub> H <sub>4</sub> -Cl
DCPA		

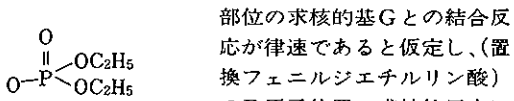
表(2-2)

ビリミカーブ 0.048	アミドチオエート (>40)	メカルバム 0.03 (1.2)	メカルバム 0.03 (0.2)
ジアリホール 0.027 (1.3)	ピリダフエンチオン 0.025 (1.3)	ブロメカルブ 0.02 (2.7)	
マラソン 0.013 (4.5)	ジメトエート 0.01 (740)	ジメチルビンホス 0.01 (5.6)	
ビリミホスメチル 0.0083 (0.75)	ダイアジノン 0.0078 (3.2)	ブロバホス 0.0063 (4.8)	
イソキサチオン 0.0032 (1.7)	バラテオノン 0.005 (3.2)	クロルビリホス 0.005 (0.13)	

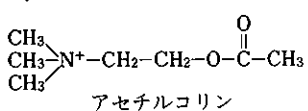
近代化学療法の父 Ehrlich 博士は、「薬物の作用に関し結合力を指摘している。」この場合、水素結合、分子化合物の形成などの弱い結合も含まれる。

神経の興奮伝達は、transmitterといわれる化学物質がその役割を果しており、その化学物質はアセチルコリンである。これがコリンエステラーゼという酵素により加水分解を起し、コリンを遊離する。

しかし、バラオキソノンは、コリンエステラーゼと結合して、加水分解を行う部位をふさいでしまうので、アセチルコリンは加水分解されず、その結果興奮伝達が阻害され、神經毒作用があらわれる。福井氏らは、加水分解部位の求核的基Gとの結合反応が律速であると仮定し、(置換フェニルジエチルリン酸)



(図2)



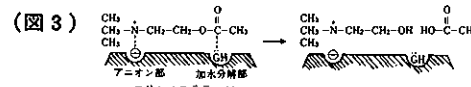
が仲々複雑であった。たとえば、2,4-di-NO<sub>2</sub>のように反応性が大きすぎると有効部位に到達しないうちに体内で反応し無毒化するなど種々の思わぬ結果もみられた。

表(3-1)

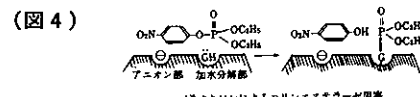
表(3-1) 置換フェニルジエチルリン酸の加水分解定数、コリンエステラーゼ阻害力および殺虫力

置換基	Sp <sup>(N)</sup>	加水分解定数 (min <sup>-1</sup> )	I <sub>50</sub> (ハエのコリン) <sup>a)</sup> (エステラーゼ)	殺虫力
2,4-di-NO <sub>2</sub>	1.132	5.7×10 <sup>-3</sup>	3.0×10 <sup>-9</sup>	+
o-NO <sub>2</sub>	1.120	(3×10 <sup>-4</sup> )	5.0×10 <sup>-8</sup>	++
p-NO <sub>2</sub>	1.119	2.7×10 <sup>-4</sup>	2.6×10 <sup>-8</sup>	+++
p-CHO	1.106		1.5×10 <sup>-7</sup>	-
p-CN	1.106		1.3×10 <sup>-7</sup>	++
2,4,6-tri-Cl	1.100	7.9×10 <sup>-5</sup>	6.0×10 <sup>-9</sup>	++
2,4-di-Cl	1.100	4.8×10 <sup>-5</sup>	5.0×10 <sup>-7</sup>	+
o-Cl	1.099	5.1×10 <sup>-5</sup>	2.0×10 <sup>-5</sup>	±
p-Cl	1.099	3.2×10 <sup>-5</sup>	3.0×10 <sup>-5</sup>	±
ナシ	1.097	9.2×10 <sup>-5</sup>	1.0×10 <sup>-8</sup>	-
m-NO <sub>2</sub>	1.097	9.8×10 <sup>-5</sup>	5.0×10 <sup>-8</sup>	++
p-CH <sub>3</sub>	1.097		1.0×10 <sup>-3</sup>	-
m-OCH <sub>3</sub>	1.096	8.9×10 <sup>-6</sup>	1.3×10 <sup>-4</sup>	-
p-OCH <sub>3</sub>	1.096		1.0×10 <sup>-3</sup>	-
p-N(CH <sub>3</sub> ) <sub>2</sub>	1.094	1.9×10 <sup>-6</sup>	4.0×10 <sup>-5</sup>	+

a) コリンエステラーゼの能力を50%減少させるに要する殺虫剤のモル濃度。



コリンエステラーゼによるアセチルコリンの加水分解



パラオキソノンによるコリンエステラーゼ阻害

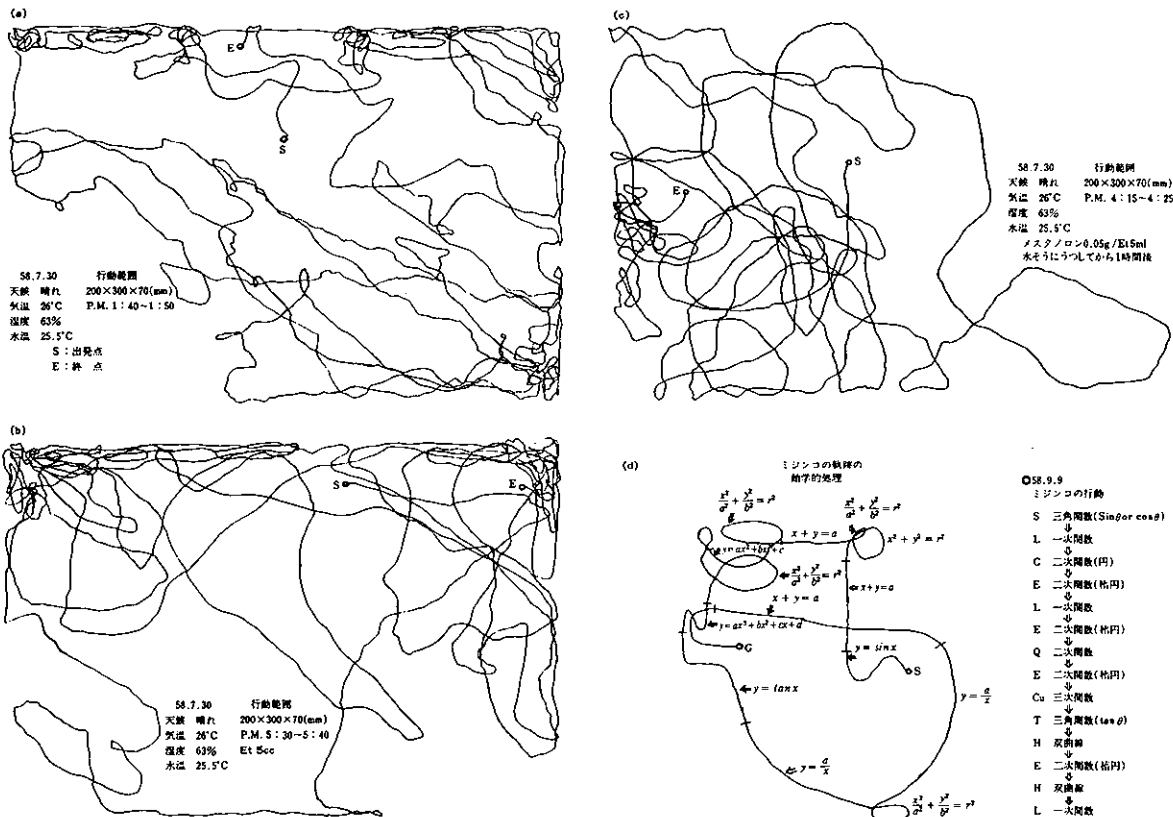
ミシンコの場合についても表3を詳細に検討すれば、種々の実験的法則も出てくるとおもうが、虫体内への浸透性や溶解度、体内での分布、有効部位まで達する間の代謝、有効部位での活性など複雑である。しかし、たとえば⑤⑥の対称的構造に近いものは dipole 小と考えられるので、いくらか低い毒性を示すことが了解できる。

以上は TLmなど従来のデータの概観であるが、次に我々の意図する実験法について述べる。

#### IV. ミシンコの行動の解析

##### 数値、パターン解析

ミシンコは暗夜で赤い光に合うとまず、離れていく、それから除々に引き戻してくれる。母親の体内にいる胎児に母親の腹部に懐中電灯を当てる、まず離れ、それから除々に引き戻ってくる。これらの一連の行動に理由は何であれ、はかない生命現象の姿を見るようである。次の図はミシンコの3態(通常(a)、アルコール添加(b)、同化ホルモン添加(c)での行動軌跡である。



このような図もいろいろの解釈ができるようになるかも知れない。すなわち同化ホルモンで活性になったミジンコは一番しっかりした足どりを示しているように思える。

d図は軌跡を各部分に分けて、それぞれ数式で表したものである。たとえば、あるミジンコが二次関数の多い足どりであるというデータが数多くの実験の結果でくれば、大変興味あることになる。

「ヒトの頭脳」の研究に數学者の研究が成果をあげているときいている。これがそのような研究事象に役立つものであるかも知れない。

また、これらのミジンコの行動解釈にはミジンコの血液型に関する知見も大きな要素となっているようである。

最後にミジンコを生体試料として用いるときの利点について触れる。

- ①高価な飼育装置および広い飼育土地を必要としない。
- ②実験費は低廉であるので、容易に行うことができる。
- ③他の動物にくらべて、測定時間が極めて短かい。

以上の利点がらも今後この試験法の拡大が望まれる。私の考えをいえば、今後、各種薬品毒性について、その毒性の強さの規格化が行われるとすれば、ミジンコに対する作用値が、どの生物に対してのそれよりもふさわしいものであろうと思っている。

## 参考文献

- 水野寿彦 “日本淡水プランクトン図鑑” 保育社 71(1981)
- 日本水産資源保護協会 “水産環境水質基準” (1972)
- 金沢純・田中二良 “水生生物と農業” サイエンティスト社 (1979)
- 山田卓三・山極隆 “簡単な飼育と培養ミニ生態系” 教材生物研究会 (1976)
- Frederick E. Smith · Edward R. Baylor American Naturalist, 137, 63 ( 1953 )
- 米沢貞次郎・永田親義・加藤博史・今村詮・緒熊奎治 “量子化学入門” 第六章化学同人 (1972)
- 田島守隆 日本分析化学会第32年会 (1983)

おことわり： 紙面の都合上、著者のご承諾を得て一部の記事および図表を割愛させて戴きました。

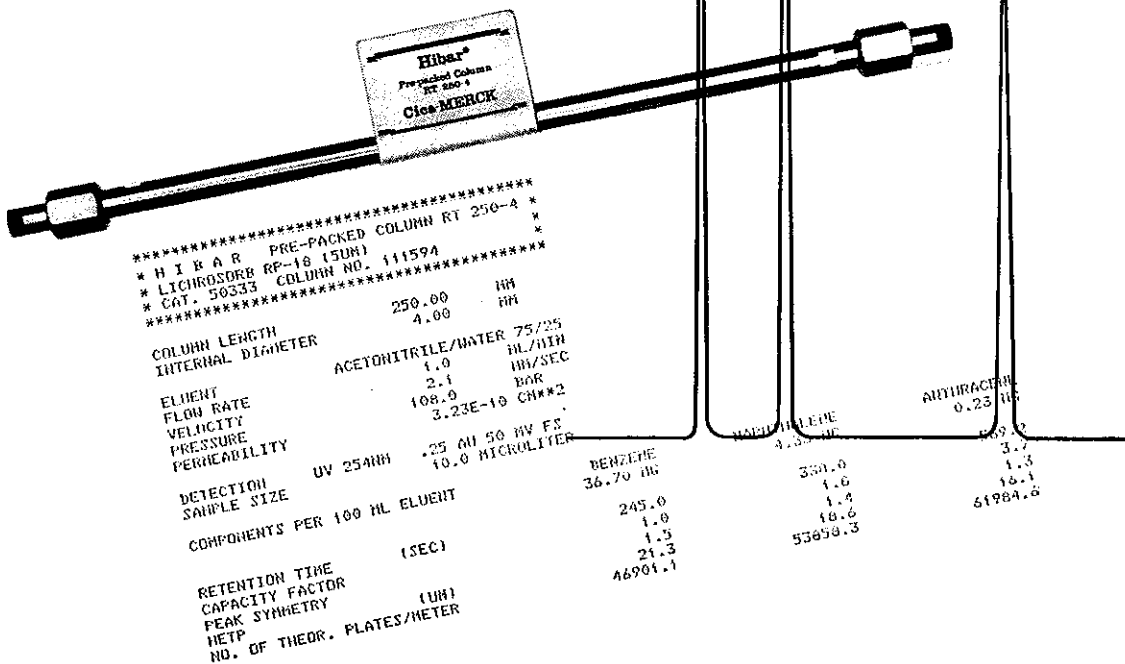
# Hibar®

Cica-MERCK

## 高速液体クロマトグラフィー用充填カラム

西ドイツのメルク社と提携している関東化学  
は世界的に評価の高いメルクの HPLC 用充  
填カラム "ハイバーカラム" を国産化し、お  
求めやすい価格で提供できることになりました。

- メルクで開発製造された専用充填機
- メルクで使用されているQCソフトウェア
- メルクで製造された充填剤



製品番号	50333	ハイバーカラム	LiChrosorb RP-18	5 μm	¥ 45,000
製品番号	50334	ハイバーカラム	LiChrosorb RP-18	7 μm	¥ 44,000
製品番号	50334	ハイバーカラム	LiChrosorb RP-18	10 μm	¥ 43,000

その他 LiChrosorb RP-8, NH<sub>2</sub>, DIOL, Si60 もございます。

詳細は下記に

関東化学株式会社 試薬事業本部

103 東京都中央区日本橋本町4-6 東興ビル 03(663)7631  
541 大阪市東区瓦町3丁目1番地 06(222)2796



## 薬学ゆかりの外国人(14)

エミール・フィッシャー Emil Fischer

日本薬史学会 薬学博士 根本曾代子

### 偉大な生化学者

エミール・フィッシャー(1852~1919)は、生化学の基礎を築いた大家である。ドイツ名門校のエルランゲン、ウェルツブルク両大学教授を経て、ベルリン大学教授で有終の美を飾った。蛋白質研究とともに、三大業績として高く評価される“糖類およびプリン族の研究”によって、1902年、ノーベル化学賞の栄誉に輝いた。

フィッシャー教授の学殖を慕って、各国から俊秀が参集したが、日本人留学生中薬学では若き日の朝比奈泰彦博士(文化勲章受章者)、大槻式博士(大阪薬専校長)ほか、ビタミンB発見者の鈴木梅太郎農博(文化勲章受章者)もそのひとりであった。

### 幼時の環境

エミール・フィッシャーは1852年10月9日、ローレンツ・フィッシャーの8番目の末子として生まれた。母は知的で温厚な人であった。生家は西ドイツのライン下流のケルンに程近いオイスキルヘンという工業の盛んな町で、父は弟と共に経営のアルコール類や雑貨の商店のほか、紡績工場と色素工業の事業も発展していた。父は工業会社重役も兼ねて町の有力者であった。

フィッシャーの兄1人と姉2人が早世して、娘4人のところへ息子が生まれたので、父は大喜びで将来に望みを託していた。5歳になると町の小学校で幼児教育に老練な教師の感化で天分を伸ばし始めた。

### 父の勧める化学志向

当時のギムナジウムは8年制で、フィッシャーは9歳から4年間、町のギムナジウムで学習した。13歳で家を離れてウェツラーの町に下宿してギムナジウムに通った。生涯の大好物となったタバコとワインはこの頃からの習癖で、胃炎の素因となつた。

満15歳になった1867年10月の冬学期から、ポンのギムナジウムに転校して、1869年8月優秀な成績で卒業した。父がお祝にビールの大樽を送ってきたので、級友全員を下宿に呼んで祝杯をあげた。

将来の方向を彼は数学と物理学者を望んだが、実務的な父は非実際的な学問には反対で、応用範囲の広い化学研究に合意した。父の希望で半年間実務を見習ってから胃炎の治療に1年間掛けて体調をととのえた。

1871年4月の夏学期からポン大学の化学科に籍をおいた。1学期は物理、植物、化学の講義に終始した。冬学

期からは待望のケクレ教授の有機化学の明快な実験指導の下に勉学に励んだ。しかし分析の実習は設備が不完全で講師の指導も不得要領で、意欲をそがれた。

### バイヤー教授との出会い

折しも普仏戦争に大勝したドイツが占領地のエルザスに、ベルリン大学に匹敵するストラスブルク大学を創立した。有機化学教授にはケクレの高弟アドルフ・バイヤーが就任したという情報は、フィッシャーの運命の転機となつた。彼は1872年の夏学期終了を待つてポン大学を去り、10月の冬学期からストラスブルク大学のバイヤー教室に籍をおいた。

父は息子がちょうど成年に達した機会に財産を分与して、その利子で学資を貯えるように取り計った。

ストラスブルク大学はドイツ政府が経費を潤沢に支出したので、設備もよく研究も活発に進行した。彼はバイヤー教授の指導の下に、ヒドラチン族の研究に没頭した。1875年には糖類研究の重要な試薬となるフェニルヒドラチンを発見して、その力量を認められた。

バイヤー教授はこの年7月、ミュンヘン大学のリービッヒ教授の後任に懇招されたので、フィッシャーはいとこと10月の冬学期からバイヤー教室の研究生に加わつた。特に自由研究生として優遇され、いとこのオットーと共に、色素のロザリニンの構造を解明した。

休暇には健康維持や見聞を広めるために各地を遍歴した。1876年の秋休暇に北欧の旅の帰途、ハンブルグで開かれたドイツ自然科学者会で、初めてフェニルヒドラチンに関する研究発表を行つた。

10月から1学期間、バイヤー教授の許可を得て、ストラスブルク大学でローゼ教授に師事して分析化学を習得した。余暇に物理学を聽講したが、予期しない収穫は、菌類の権威、ド・バリ教授の直接指導を受けて、地衣の色素成分研究に強く心をひかれた。

1877年春、遊学の目的を果たしてミュンヘンに戻つた。機が熟して、ヒドラチン化合物とロザリニン研究を概括的にまとめた論文をアンナーレンに発表した。25歳の1878年春、ミュンヘン大学のドクトル学位資格試験に合格して、講師に推された。化学の講義題目に異色のタール色素を選んだので、聽講生が多数集まり好評を得た。

この年1878年は43歳のバイヤー教授にとって、多年のインシゴ合成が完成した記念すべき年であった。1905年

度ノーベル化学賞の対象となった。

### 26歳のミュンヘン大学教授

1879年春、バイヤー教授の推薦でミュンヘン大学の員外教授の辞令を受け、初めて3,160マークの給与を手にした。父母は26歳の息子が大学教授の要職についてことを非常な名譽として感激したが、実業家の父は大学教授の報酬が意想外に低いことに気付いた。

フィッシャー教授はこれまで束縛されない自由研究生の立場から一変して、身辺はにわかに義務的な役割に追われて、自由研究のゆとりがなく、有能な数名の助手の協力を求めた。教授の担当は分析化学の実習指導と、無機化学教室には医師や薬剤師も参加して150人位の学生の実習指導には、2カ所の実験室の巡回に2日掛りの要領で点検に意を注いだ。

目まぐるしい教授生活も次第に課業が能率的にはかどり、個人研究室で自由研究の余裕を取り戻すことができた。バイエルン州の首都ミュンヘンには著名な知識人が多く集まり、社交範囲も科学者、哲学者、音楽家、美術家たちと広く交わり、名だたるミュンヘンビールの杯をあげて談論風発、良識ある化学者の風格を具えて、知名度を高めていった。秋の休暇には帰郷して、狩猟家の父と山野を馳走して体力を鍛えた。

研究も日夜怠らず、とくに学位論文となったヒドラチンに関する研究は化学会でもその学識が認識された。1880年春、アーヘン工科大学の有機化学教授に懇意に招された。アーヘンはフランス国境で郷里にも近い便宜もあったが、研究費の不足が再度の招請にも辞退した理由であった。

1882年にエルランゲン大学化学科教授就任を受諾したのは、正教授となる上、新築教室の設備が良好などの条件が理解できたからであった。同じ頃、色素工業で時めくバジッシュ・アニリンソーダ会社から、高給で研究室主任の交渉があった。それは最高の教職よりもはるかに物質的に報われる地位であったが、彼は学問研究の見地からは、自由な大学教授には及ばないとして固辞した。会社側はなおも研究指導を要望して、研究原料の提供や、工場での工業的実験など、積極的な研究助成を申し出た。

### エルランゲンで尿酸と糖類研究

フィッシャーはミュンヘン大学からクノルとライゼンエッカーらの有能な助手を伴って、エルランゲン大学化学科正教授に赴任した。30歳であった。長年の下宿生活から初めて自分の家に落ち着き、大学の研究と講義も好調に滑り出した。

意欲的に尿酸の研究に着手したが、メチル化は会社の研究室で大規模な工業的実験が開始された。原料はオランダで秘薬に用いられるという非常に高価なヘビの糞を数キログラムもアムステルダムから買入れた。彼の三大業績に数えられる尿酸グループの研究に発展するが、尿酸はテオブロミンやカフェインと化学的に関連があるので、フィッシャーは、尿酸 uric acid, テオブロミン、カフェインなどの化合物の骨格をプリン purine と総称している。

並行して糖類研究に挑戦して、葡萄糖や果糖にフェニ

ルヒドラチンを作用させて、糖類のオサゾンを発見し、糖類研究の基礎をつくった。

一方、助手のクノルと共同研究でアンチピリンを発見した。このヒントは先にクノルがフェニルヒドラチンとアセト酢酸エチルとの反応を巧みに利用したものであった。こうして師弟はひたすら実験の妙味に知能と精力を傾けて、時の移るのを忘れた。

1883年秋の休暇に同門の親友ヴィクトル・マイヤーを誘って帰郷し、父と狩猟を楽しんだ。二人はミュンヘンに恩師バイヤーを訪ねた。バイヤーは出藍の愛弟子たちの業績をたたえ、もはや師弟ではないと、ともに研究に精進する盟友の誓を取り交し、2人を感激させた。

フィッシャーはますます研究に拍車をかけたが、急性感冒から肺炎を併発し、長期休養を余儀なくされた。文部当局に了解を願い出て、代理教授にミュンヘンで講師を担当するといふこのオットーを推薦し、転地療養の生活を続けることになった。

### ウェルツブルク教授の7年

1年余りの静養で回復して、エルランゲンに復職する時期を前にして、ウェルツブルク大学のコルベ教授死去に伴ってその後任に懇意に招された。条件に同意して辞令を受け、1885年10月の冬学期から新しい任地へ移った。

フェニルヒドラゾンからインドール誘導体を合成する実験に成功したが、教室にスカートルの異臭が充満し、実験者にしみついた悪臭が至る所で苦情の種をまいた。

1888年2月22日、婚約中のエルランゲン大学解剖学教授の愛娘で26歳のアグネス・ガールラッハと結婚生活にスタートした。36歳。

1890年初め、糖類の構造解明と合成研究が完成して、ドイツ化学会誌に発表した。7月の化学会例会でホフマン会頭の司会の下に講演を行い、名声が大いに高まった。ロンドン化学会からデビー・メダルが贈られた。

1892年由緒あるベルリン大学化学科およびドイツ化学会の創設者、A. W. ホフマン教授が死去して、栄誉ある後継者に選ばれた。その頃フェニルヒドラチンの慢性中毒で、手の湿疹や声帯異状、胃腸障害に悩まされていた。

### ベルリン大学教授の功業

ベルリン大学就任に先立って、ホフマン教授が建設した化学教室は老朽化して、新設計画の必要性を文部大臣に力説して許可を得た。

翌1893年には第一流の学者集団であるベルリン学士院会員およびドイツ化学会会頭に推された。

新しい蛋白質加水分解生成法の解明に没頭していたが、図らずもわずか結婚7年で夫人が幼い3子を残して病没した。

悲運に耐えながら、本務のかたわら入念な設計によって、1900年には比類なき宏壯完備の化学教室が落成した。蛋白質の研究も一段と活発化し、独自のエステル法によって、数種のアミノ酸の分離に成功し、新機軸を出したものとして、欧米学界にも反響を呼んだ。1902年には「糖類およびプリン族の研究」でノーベル化学賞を受けた。

主要業績から抄出すると、ジエチルバルビツール酸を

合成し、催眠薬ウェロナールとして市販された。タンニン酸の研究、砒素化合物エラルソンの研究、デブシット、地衣成分研究などが特筆される。

1909年には学士院のヘルムホルツ賞、翌年ベルリン大学からGeheimratの称号を受けた。

国立の化学研究所の創立計画に参画し、特にカイゼル・ヴィルヘルム研究所およびダーレム研究所創設に力をつくした。200年の歴史をもつ学士院の改築にも委員として働いた。

会頭としてドイツ化学会の発展にも少なからず寄与したが、特に意を注いだ二大事業のうち、初代会頭ホフマ

ン博士の偉業を記念するホフマンハウスの建設には、労をいとわず完成に努めた。会の文献事業を強固にするため、バイルシュタイン寄贈のハンドブック4巻を再期的な8巻の大部に増補するため、多額の基金を集めて刊行に導いた。

第1次世界大戦に軍医として出征した二男と三男を失った。すでに病重く2年後の1919年7月15日66年の偉大な生涯を閉じた。遺言により若い研究者のために75万マークを学士院に寄贈した。タル色素工業連合会は偉大な功業を顕彰するため、1921年11月、大学構内にフィッシャーの記念座像を建設した。

### 〈新製品紹介〉

#### MERCK LiChroCART®

—高速液クロ用カートリッジシステム—

従来の液クロカラムがシンプルなカートリッジスタイルに変わりました。

リクロカートカートリッジシステムでは、圧搾空気を利用して、スイッチひとつでカラムを脱着できる“オートフィックスII”と、カラムカートリッジをマニュアルでHPLC装置に接続するときに使用する“マニュフィックス”的2つのタイプを発売しております。

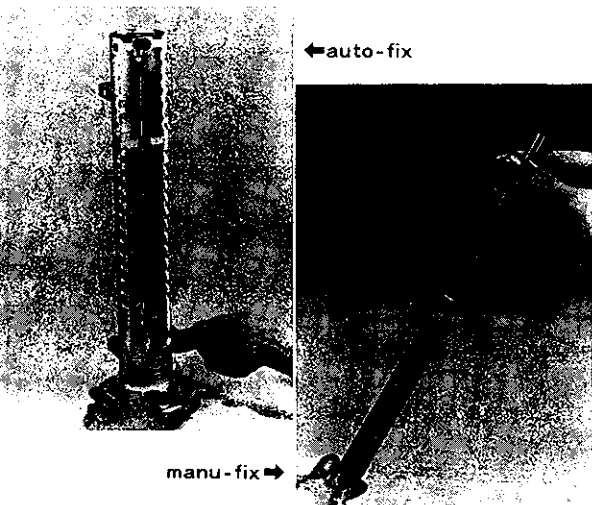
#### 特長

- 化学的に不活性：カラムの内壁に厚さ0.5μmのガラスがコーティングされており、試料がカラムの金属面と接触することがない。
- 理論段数：40,000N/m以上を保証
- カラムサイズ：内径4mmで、用途に応じて25, 50, 125, 250mmの長さを選択できる。
- テストクロマトグラム：各製品ごとにテストクロマトグラムとコンピューター処理したデータが添付
- 低価格：シンプルなカートリッジで部品数を極力少なくしてある。

### 〈編集後記〉

春がやっと来たという感じですが、今年の冬は異常な寒気で、通例は1~2度の軽い降雪しかみない東京地方に、6, 7回におよぶかなりの降雪があり、しかも低気温のため路上にながく残雪がみられました。とにかくきびしい、ながい冬でした。

1月の始めに、昭和40年の第3号の「薬物代謝」をはじめに、59年の第1号の「尿中の薬毒物の分析Ⅲ」に至るまで56篇の生体内微量薬毒物、幻覚剤、覚醒剤代謝および検出に関する多くの優れた学説記事をお寄せ下さい、当ケミカルタイムズに格別のご支援を賜っており



ました科学警察研究所の丹羽口徹吉先生の突然の訃報に接し、ただ驚きかつ深い哀惜の涙にくれた次第でござります。享年54才と伺いましてご逝去のあまりにも早すぎたことと存念致しております。紙上をお借りして慎んでお悔み申し上げます。

本号には多田先生の「アルキルラジカルの付加、異性化反応(III)」をはじめ、前号に統いて電信電話公社 厚木電気通信研究所の諸先生の「半導体薬品の供給自動化(2)」他の興味ある数々のお話を掲載させて戴きました。

末筆ですが厚くお礼申し上げます。 <山田記>

 関東化学株式会社

〒103 東京都中央区日本橋本町3丁目7番地  
電話 (03) 279-1767

編集責任者 山田 博 昭和59年4月1日 発行